

Министерство образования Российской Федерации  
Казанский государственный технологический университет

## **Оболочки и пластины**

Методические указания  
к курсовому и дипломному проектированию

2000



**Составители:**

проф. О.А.Перелыгин,  
проф. С.И.Поникаров,  
проф. В.А.Булкин,  
ассист. С.А.Вилохин.

Оболочки и пластины.: Метод. указания/ Казан. гос. технол. ун-т;  
Сост.: О.А.Перелыгин, С.И.Поникаров, В.А.Булкин, С.А.Вилохин. Казань,  
2000. 48с.

Приведены теоретические основы и рекомендации по расчету  
оболочек и пластин с учетом краевых моментов.

Предназначены для студентов, занимающихся по специальности  
170500 "Машины и аппараты химических производств и предприятий  
строительных материалов" и по другим механическим специальностям,  
при выполнении курсовых и дипломных проектов.

Подготовлены на кафедре "Машины и аппараты химических  
производств".

Печатаются по решению методической комиссии специальностей  
механического профиля.

Рецензенты: доц. Д.И. Сагдеев,  
доц. А.Д. Васенев.

**1. Элементарные сведения по геометрии оболочек вращения.**

Основные элементы сосудов и аппаратов - корпуса, крышки и днища  
представляют собой оболочки вращения. Напомним, что под  
оболочкой понимается тело, одно из измерений которого (толщина  $h$ )  
меньше двух других, а под оболочкой вращения - такая оболочка, у  
которой срединная поверхность, т.е. геометрическое место точек,  
равноотстоящих от обеих поверхностей этой оболочки, образована  
вращением какой-либо плоской кривой - образующей вокруг оси. Так,  
сфера образована вращением полуокружности; конус - вращением  
прямой и т.д.

Кривую, вращением которой образована срединная поверхность  
оболочки, будем называть образующей, точки пересечения срединной  
поверхности с осью - полюсами. Кривую, получающуюся при  
пересечении срединной поверхности с плоскостью, проходящей через  
ось вращения, будем называть меридианом. Очевидно, меридианы  
совпадают с образующими. Плоскости, перпендикулярные к оси  
оболочки, пересекают срединную поверхность по окружностям, которые  
называются параллельными кругами или кольцевыми сечениями.  
Радиус кривизны меридиана в какой-либо точке срединной поверхности

называется её первым главным радиусом кривизны  $R_1$  в данной точке; радиус кривизны кривой, полученной от пересечения срединной поверхности с плоскостью, перпендикулярной к меридиану в данной точке, - вторым главным радиусом кривизны  $R_2$ . Этот радиус равен отрезку нормали, заключенному между срединной поверхностью и осью оболочки.

Концы  $K_1$  и  $K_2$  радиусов кривизны (рис.1) называются центрами кривизны. Из аналитической геометрии следует, что второй центр кривизны  $K_2$  поверхности вращения лежит на оси оболочки и оба радиуса - на одной прямой, перпендикулярной к срединной поверхности. Угол  $\phi$  между нормалью к поверхности и осью вращения назовем широтой рассматриваемой точки. Линию, по которой срединная поверхность пересекает плоскость, нормальную к меридиану в данной точке, назовем линией нормального сечения.

Пусть  $r$  - радиус параллельного круга, тогда  $r = R_2 \sin\phi$ , и длина элемента параллельного круга  $ds_2 = r d\alpha = R_2 \sin\phi d\alpha$ ,

где  $d\alpha$  - угол между смежными меридиональными плоскостями.

Длина элемента меридиана  $ds_1 = R_1 d\phi$ .

Площадь элемента срединной поверхности

$$dF = ds_1 \cdot ds_2 = R_1 R_2 \sin\phi d\phi d\alpha.$$

Будем полагать в дальнейшем, что нагрузка, действующая на оболочку вращения, равномерно распределена по её поверхности и обладает свойствами симметрии, т.е. остается постоянной в плоскостях, параллельных окружностям. Для таких оболочек задача расчета значительно упрощается, т.к. внутренние силы в них не будут изменяться вдоль параллельного круга.

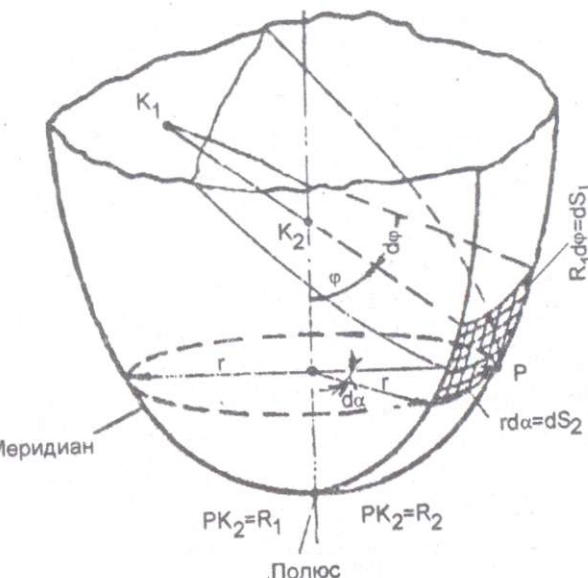


Рис. 1

Для решения вопроса о прочности оболочки вращения в условиях осесимметричного нагружения рассмотрим равновесие выделенного из неё элемента под действием внешних и внутренних силовых факторов, а для этого выясним, какие внутренние силовые факторы возникают в этих оболочках.

Рассмотрим цилиндрическую оболочку, заполненную жидкостью и закрытую снизу жестким днищем (рис.2).

Очевидно, что в результате нагружения образующая оболочки будет растянута, а это означает, что в оболочках, нагруженных осесимметрично, возникают растягивающие или сжимающие внутренние силы, направленные по касательной к меридиану.

Обратимся в этой оболочке к дуге AB параллельного круга (рис.2а). Под действием внутреннего давления радиус R дуги увеличится и примет значение  $R+\Delta R$ , а дуга AB после деформации станет равной A'B'. Растинем дугу AB касательными к параллельному кругу силами T до длины до  $AB''=A'B'$  (рис.2б). Теперь, если наложить AB'' на A'B', то очевидно, что эти дуги не совпадут. Чтобы достигнуть их совпадения, необходимо дугу A''B'' разогнуть, приложив к её концам моменты K (рис.2в). Отсюда следует, что в оболочках, нагруженных осесимметрично, кроме внутренних растягивающих сил T, возникают также изгибающие моменты K, лежащие в плоскости параллельных кругов.

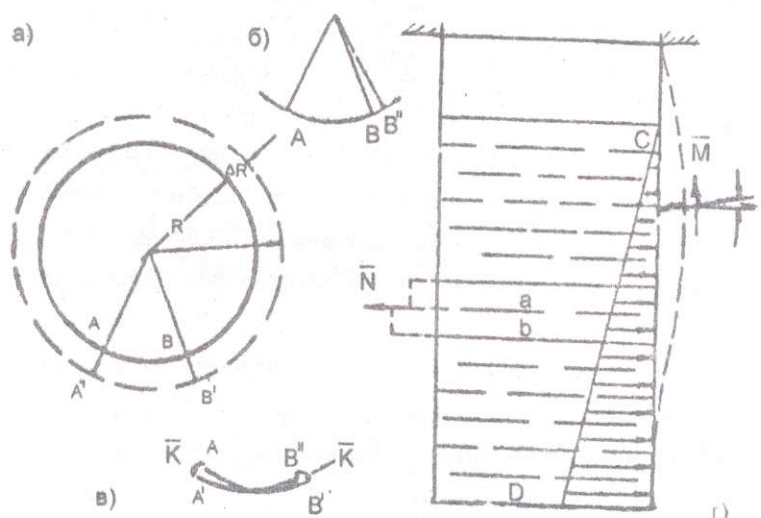


Рис. 2

Известно, что давление на стенки сосуда, заполненного жидкостью, распределится по прямой CD (рис.2г). Выделим в цилиндрической оболочке два смежных кольца a и b. Легко усмотреть, что соприкасающиеся сечения колец a и b стремятся скользнуть одно по другому, вследствие чего в оболочках, нагруженных осесимметрично, возникает перерезывающая сила N. Кроме того, под действием гидростатического давления срединная поверхность цилиндрической оболочки будет стремиться принять вид усеченного конуса. Однако вследствие жесткости днища, не допускающего расширения и поворота края цилиндра, стенка его выпучится и примет форму, показанную на рис.2г пунктиром, а в оболочке возникнут изгибающие моменты M, лежащие в плоскости меридиана.

Таким образом в нагруженных осесимметрично оболочках вращения, возникают пять внутренних силовых факторов: меридиональная сила - S, кольцевая сила - T, изгибающий кольцевой момент - K, изгибающий меридиональный момент - M и перерезывающая сила - N, направленная вдоль радиусов кривизны оболочки.

## 2. Уравнения равновесия элемента оболочки

Теория оболочек основана, главным образом, на двух упрощающих предположениях. Первое из них – предположение о неизменности нормали- предполагает, что прямые, нормальные к срединной поверхности оболочки до деформации, остаются прямыми и нормальными и после деформации. Этот постулат означает, что 'главными' деформациями оболочек можно пренебречь по сравнению с 'главными' перемещениями. Это приемлемо в той мере, в какой толщина оболочки меньше других её размеров.

Другое предположение состоит в том, что внутренними силами сжатия (или растяжения), действующими нормально к срединной поверхности оболочки (в направлении радиусов кривизны), также можно пренебречь. Справедливость этих предпосылок в дальнейшем мы обсудим более подробно.

Рассмотрим равновесие элемента оболочки вращения (рис.3), выделенного с помощью двух меридиональных сечений abcd и efg, разнесенных в плоскости параллельного круга на угол  $d\alpha$ , и двух сечений bcfg и adeh, перпендикулярных к меридиану, разнесенных на угол  $d\phi$ . Центр срединной поверхности выделенного элемента обозначим через Р и разместим в нём систему прямоугольных координат x, y, z так, чтобы ось x была направлена по касательной к меридиану, в сторону возрастающих углов  $\phi$ , ось y - по касательной к параллельному кругу в точке Р, в сторону возрастающих углов  $\alpha$ , ось z - по нормали к срединной поверхности, в сторону центров кривизны.

Учитывая симметричность нагрузки вокруг оси оболочки, можно заключить, что на грани abcd и efg действуют одинаковые и обратно направленные нормальные силы Т и моменты К, стремящиеся повернуть грань вокруг касательной к срединному меридиану этих граней. Моментов, лежащих в плоскости этих граней и стремящихся повернуть грани вокруг их центров, не существует, так как если бы такие моменты существовали, они имели бы обратные направления на обеих гранях и скручивали выделенный элемент, что по соображениям симметрии невозможно. По аналогичным соображениям на рассматриваемых гранях не может быть и поперечных сил.

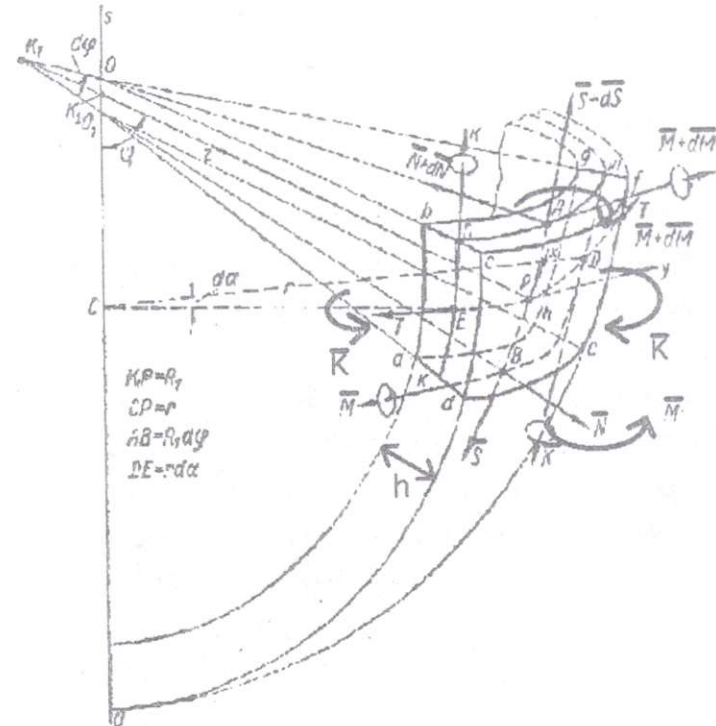


Рис.3

На гранях adeh и bcfg будут действовать меридиональные моменты  $M$ , стремящиеся повернуть эти грани вокруг касательных к параллельным кругам, проходящим через центры граней, нормальные силы  $S$ , направленные по меридиану, и перерезывающие силы  $N$ , направленные вдоль радиусов кривизны. В дальнейшем будем считать, что все перечисленные выше силовые факторы действуют равномерно по толщине стенки оболочки. Изобразим моменты  $K$  и  $M$  векторами на оси вращения, направление которых связано с направлением момента правилом правого винта.

Обозначим через  $\bar{S}$  меридиональную силу, действующую на единицу длины параллельного круга срединной поверхности грани  $adeh$ , условимся считать эту силу положительной, если она является растягивающей, и отрицательной, если она будет сжимающей. Через  $T$  обозначим кольцевую силу, действующую на единицу длины меридиана на гранях  $abcd$  и  $efgh$ . Для знака  $\bar{T}$  примем то же условие, что и для  $\bar{S}$ . Очевидно, что  $\bar{S}$  лежит в плоскости меридиана, а  $\bar{T}$  - в плоскости параллельного круга.

Обозначим через  $\bar{K}$  кольцевой изгибающий момент, действующий на единицу длины меридиана и стремящийся повернуть элемент вокруг меридиана, проходящего через точку  $P$ , а через  $\bar{M}$  - меридиональный изгибающий момент, действующий на единицу длины параллельного круга и стремящийся повернуть элемент вокруг касательной к параллельному кругу в той же точке. Условимся считать  $\bar{K}$  и  $\bar{M}$  положительными, если они стремятся увеличить радиус кривизны оболочки.

Будем считать, что  $\bar{N}$  - это перерезывающая сила, действующая на единицу длины параллельного круга и лежащая в плоскости сечений, нормальных к меридиану. Условимся силу  $\bar{N}$  считать положительной, если она направлена в сторону центров кривизны. По соображениям, изложенным выше, сила  $\bar{N}$  может действовать лишь на нижней и верхней грани элемента и будет направлена вдоль радиусов кривизны оболочки.

Будем считать, что внешние силы, действующие на оболочку, равномерно распределены по ее поверхности непрерывно, и обозначим через  $X$ ,  $Y$  и  $Z$  составляющие равнодействующей внешних сил на

единицу площади поверхности в направлении осей  $x$ ,  $y$  и  $z$ , соответственно.

Поскольку изменение радиуса кривизны меридиана и величины нагрузки по оси оболочки приводят к изменению силовых факторов  $S$ ,  $N$  и  $M$  вдоль меридиана, перерезывающая, меридиональная силы и меридиональный изгибающий момент на верхней грани вырезанного элемента имеют приращения  $dS$ ,  $dN$  и  $dT$ , соответственно. В плоскости параллельных кругов ни радиус последних, ни внешняя нагрузка не меняются, а потому кольцевая сила  $T$  и кольцевой изгибающий момент  $K$  приращений не имеют.

Теперь на грани оболочки (рис.4) действуют следующие силовые факторы:

на грани  $abcd$  и  $efgh$  - сила  $|\bar{T}| = TR_1 d\phi$  и момент  $|KT| = KR_1 d\phi$ ;

на грань  $adeh$  - сила  $|\bar{S}| = SR_2 d\alpha = SR_2 \sin \phi d\alpha$ , сила  $|\bar{N}| = Nr d\alpha = NR_2 \sin \phi d\alpha$

и момент  $|\bar{M}| = Mr d\alpha = MR_2 \sin \phi d\alpha$ ; на грань  $bcfg$  - сила

$$|S + dS| = SR_2 \sin \phi d\alpha + d(SR_2 \sin \phi d\alpha) = SR_2 \sin \phi d\alpha + d(SR_2 \sin \phi) d\alpha d\phi / d\phi = \\ = SR_2 \sin \phi d\alpha + (SR_2 \sin \phi)' d\alpha d\phi$$

момент  $|M + dM| = MR_2 \sin \phi d\alpha + (MR_2 \sin \phi)' d\alpha d\phi$ ; и сила

$$|N + dN| = NR_2 \sin \phi d\alpha + (NR_2 \sin \phi)' d\alpha d\phi$$

На площадку  $klmn$  срединной поверхности оболочки вдоль оси  $x$  действует сила  $Xr d\alpha R_1 d\phi = X R_1 R_2 \sin \phi d\alpha d\phi$ , а вдоль оси  $z$ :

$$Zr d\alpha R_1 d\phi = Z R_1 R_2 \sin \phi d\alpha d\phi$$

Проведем через точку  $P$  меридиональную плоскость  $xOz$ , тогда силы  $S$ ,  $S+dS$ ,  $N$ ,  $N+dN$  будут лежать в этой плоскости. Спроектировав силы  $T$

на радиус параллельного круга, будем иметь в этой плоскости силу  $2T \sin \alpha / 2$ .

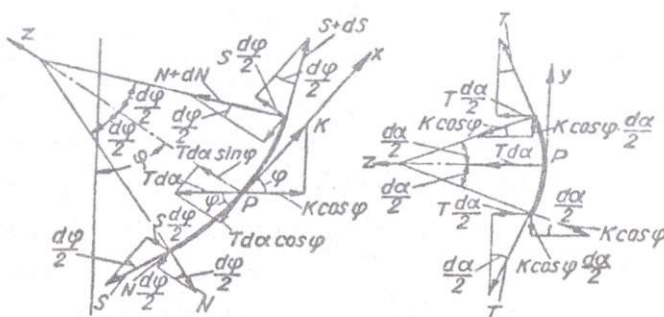


Рис.4 а) меридиональное сечение

б) кольцевое сечение

Вследствие малости углов  $d\alpha$  и  $d\phi$ , можно принять, что  $\sin d\alpha = d\alpha$ ,  $\sin d\phi = d\phi$  и  $\cos d\alpha = \cos d\phi = 1$ , тогда проекция сил  $T$  на радиус параллельного круга будет равна  $Td\alpha$ .

Напишем теперь уравнения равновесия выделенного элемента по оси  $x$ . Вдоль этой оси действуют следующие силы:

1) проекция на ось  $x$  равнодействующей сил  $S$  и  $S+dS$ :

$$[SR_2 d\phi d\alpha + (SR_2 \sin \phi)' d\phi d\alpha] - SR_2 \sin \phi d\phi d\alpha = (SR_2 \sin \phi)' d\phi d\alpha;$$

2) проекция на ось  $x$  сил  $N$  и  $N+dN$ , равная

$$-2NR_2 \sin \phi d\phi / 2 - dNR_2 \sin d\alpha d\phi = -NR_2 \sin \phi d\phi - dNR_2 \sin \phi d\alpha d\phi,$$

однако слагаемым  $dNR_2 \sin \phi d\alpha d\phi$  как имеющим более высокий порядок малости в уравнении равновесия можно будет принебречь,

3) проекция на ось  $x$  от  $Td\alpha$ :  $TR_1 d\phi d\alpha$

4) проекция на ось  $x$  приложенных к элементу внешних сил

$$XdF = X R_1 R_2 \sin \phi d\alpha d\phi.$$

Для равновесия выделенного элемента вдоль оси  $x$  должно выполняться условие:

$$(SR_2 \sin \phi)' d\phi d\alpha - TR_1 d\phi d\alpha \cos \phi - NR_2 \sin \phi d\alpha d\phi + XR_1 R_2 \sin \phi d\alpha d\phi = 0. \quad (1)$$

Вдоль оси  $z$  действуют следующие силы:

1) проекция равнодействующей сил  $N$  и  $N+dN$ :

$$-NR_2 \sin \phi d\alpha + [NR_2 \sin \phi d\alpha + (NR_2 \sin \phi)' d\alpha d\phi] = (NR_2 \sin \phi)' d\phi d\alpha;$$

2) проекция от  $Td\alpha$ :  $TR_1 \sin \phi d\phi d\alpha$ ;

3) сумма проекций сил  $S$  и  $S+dS$ :  $2SR_2 \sin \phi d\alpha / 2 = SR_2 \sin \phi d\phi d\alpha$ .

(В данном случае мы пренебрегаем слагаемым  $dSR_2 \sin \phi d\phi d\alpha$ , как имеющим более высокий порядок малости в сравнении с другими членами уравнения равновесия)

4) равнодействующая приложенных к элементу внешних сил

$$ZdF = Z R_1 R_2 \sin \phi d\phi d\alpha.$$

Для равновесия вдоль оси  $z$  должно выполняться условие:

$$(NR_2 \sin \phi)' d\phi d\alpha + TR_1 \sin \phi d\phi d\alpha + SR_2 \sin \phi d\phi d\alpha + ZR_1 R_2 \sin \phi d\phi d\alpha = 0. \quad (2)$$

Нетрудно видеть, что проекции сил  $S$ ,  $S+dS$ ,  $N$ ,  $N+dN$  и  $Td\alpha$  на ось  $z$  тождественно равны нулю, т.к. все эти силы лежат в плоскости  $xOz$ , а поэтому на ось  $z$  будем проектировать моменты. Проекций в этом случае будет три:

1) проекция равнодействующей моментов  $M$  и  $M+dM$  равная

$$-MR_2 \sin \phi da + [MR_2 \sin \phi da + (MR_2 \sin \phi)' d\phi da] = (MR_2 \sin \phi)' d\phi da;$$

2) проекция момента пары сил  $N$ ,  $N+dN$  (рис.4а), для которой, пренебрегая малыми высшего порядка, можно записать:

$$-NR_2 \sin \phi da \cdot R_1 d\phi,$$

где  $R_1 d\phi$  - плечо пары сил  $N$ ,  $N+dN$ . (Момент взят со знаком минус, так как стремится уменьшить радиус кривизны оболочки);

3) проекция равнодействующей моментов К, равная, как это видно из рис.4,

$$2KR_1 d\phi \cos\varphi \frac{d\varphi}{2} = -KR_1 \cos\varphi d\phi da.$$

Уравнение равновесия моментов относительно оси у будет иметь вид:

$$(MR_2 \sin\varphi)'d\phi da - KR_1 \cos\varphi d\phi da - NR_1 R_2 \sin\varphi d\phi da = 0. \quad (3)$$

Сокращая уравнения (1) - (3) на  $d\phi da$ , получим окончательно следующую систему уравнений:

$$\left. \begin{aligned} (SR_2 \sin\varphi)' - TR_1 \cos\varphi - NR_2 \sin\varphi + XR_1 R_2 \sin\varphi &= 0; \\ (NR_2 \sin\varphi)' + TR_1 \sin\varphi + SR_2 \sin\varphi + ZR_1 R_2 \sin\varphi &= 0; \\ (MR_2 \sin\varphi)' - KR_1 \cos\varphi - NR_1 R_2 \sin\varphi &= 0, \end{aligned} \right\}, \quad (4)$$

где символом ( ') мы обозначили производную по  $\varphi$ .

Напряжения, вызываемые силами и моментами  $\tilde{S}$ ,  $\tilde{T}$ ,  $\tilde{M}$ ,  $\tilde{K}$  и  $\tilde{N}$ , определяются, как обычно.

Сила  $\tilde{S}$  действует на прямоугольник, лежащий в плоскости меридионального сечения и имеющий основание равное единице, и высоту  $h$ . Поэтому

$$\sigma_S = \frac{S}{h}.$$

Аналогично напряжение, вызываемое силой  $\tilde{T}$ , равно

$$\sigma_T = \frac{T}{h},$$

и оно направлено по касательной к параллельному кругу в рассматриваемой точке (по кольцу).

Момент  $M$  действует на такой же прямоугольник, что и момент от силы  $S$ , и вызываемое им напряжение будет равно

$$\sigma_M = \pm \frac{6M}{h^2}$$

и направлено, как  $\sigma_T$ .

Аналогично момент  $K$  вызывает напряжение

$$\sigma_K = \pm \frac{6K}{h^2},$$

направленное, как  $\sigma_T$ .

Полные меридиональные  $\sigma_1$  и кольцевые напряжения  $\sigma_2$  в оболочке:

$$\sigma_1 = \frac{S}{h} \pm \frac{6M}{h^2}; \quad (5)$$

$$\sigma_2 = \frac{T}{h} \pm \frac{6K}{h^2}.$$

Кроме того, в оболочке возникает касательное напряжение:

$$\tau = \frac{N}{h}. \quad (6)$$

Знаки плюс в уравнениях (5) относятся к внутренней, а знаки минус - к внешней поверхности оболочки, откуда следует, что напряжения в оболочках постоянны по её толщине только в том случае, когда изгибающие моменты оболочек отсутствуют.

### 3. Безмоментная теория расчета оболочек.

Система уравнений (4), состоящая из трех уравнений с пятью неизвестными  $S$ ,  $T$ ,  $N$ ,  $K$  и  $M$ , допускает, очевидно, бесконечное число решений.

Для получения определенного решения необходимо либо дополнить эту систему уравнениями, например, учитывающими соотношения между упругими деформациями и напряжениями в оболочке, либо сократить число неизвестных в системе.

В зависимости от того, по какому пути мы пойдем, придем к моментной или безмоментной теории расчета оболочек.

Как показывает опыт, в случаях, когда оболочка не имеет защемлений и резких переходов, для ее расчета пользуются безмоментной теорией расчета, согласно которой влиянием моментов в тонкостенных оболочках можно пренебречь, т.е. можно допустить, что  $M=K=0$ .

Из уравнения (1) в этом случае следует, что  $N=0$ , и система уравнений (4) превращается в систему

$$\left. \begin{aligned} (SR_2 \sin\varphi)' - TR_1 \cos\varphi + XR_1 R_2 \sin\varphi &= 0; \\ SR_2 + TR_1 + ZR_1 R_2 &= 0 \end{aligned} \right\} \quad (7)$$

Разделив второе уравнение в системе (7) на  $R_1 R_2$  и перенеся  $Z$  вправо, получим уравнение, которое называется уравнением равновесия элемента (уравнение Лапласа):

$$\frac{S}{R_1} + \frac{T}{R_2} = -Z \quad (8)$$

Умножив первое уравнение в системе (7) на  $\sin\varphi$ , второе - на произведение  $\sin\varphi \cos\varphi$  и складывая эти уравнения, получим:

$$(SR_2 \sin^2\varphi)' + R_1 R_2 (X \sin\varphi + Z \cos\varphi) \sin\varphi = 0,$$

откуда

$$SR_2 \sin^2\varphi + \int_{\Phi_0}^{\Phi} R_1 R_2 (X \sin\varphi + Z \cos\varphi) \sin\varphi d\varphi = C, \quad (9)$$

где  $C$  - постоянная, учитывающая нагрузку свободного края оболочки.

Чтобы пояснить это, рассмотрим условия равновесия зоны оболочки между параллельными кругами, характеризуемыми углами  $\varphi_0$  и  $\varphi_1$  (рис.5).

На элементарное кольцо с площадью  $dF = 2\pi r R_1 d\varphi = 2\pi R_1 R_2 \sin\varphi d\varphi$  действуют силы  $XdF$  и  $ZdF$ , составляющие которых вдоль оси равны  $XdF \sin\varphi$  и  $ZdF \cos\varphi$ .

Проекция на ось оболочки внешних сил, действующих на всю зону, будет

$$\int_{\Phi_0}^{\Phi} (X \sin\varphi + Z \cos\varphi) dF = 2\pi \int_{\Phi_0}^{\Phi} (X \sin\varphi + Z \cos\varphi) R_1 R_2 \sin\varphi d\varphi$$

Кроме того, вдоль той же оси действуют составляющие краевых сил  $S_1$  и  $S_0$ :

$$2\pi r_1 S_1 \sin\varphi_1 - 2\pi r_0 S_0 \sin\varphi_0$$

Для обеспечения равновесия должно выполняться равенство

$$2(r_1 S_1 \sin\varphi_1 - r_0 S_0 \sin\varphi_0) = 2 \int_0^1 (X \sin\varphi + Z \cos\varphi) R_1 R_2 \sin\varphi d\varphi$$

откуда, подставляя  $r = R_2 \sin\varphi$  и полагая в (9)  $\varphi = \varphi_0$  с учетом  $R_2 \sin\varphi_0 = r_0$  (рис.1), получим  $r_0 S_0 \sin\varphi_0 = C$ . Тогда отбрасываем индексы:

$$SR_2 \sin^2\varphi = - \int_{\Phi_0}^{\Phi} (X \sin\varphi + Z \cos\varphi) R_1 R_2 \sin\varphi d\varphi$$

Уравнение (9) выражает условие равновесия зоны оболочки в направлении ее оси. Это условие называется уравнением равновесия зоны.

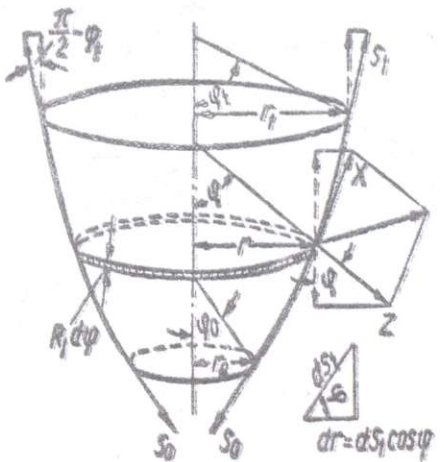


Рис.5.

Что касается постоянной С, входящей в уравнение зоны, то она, очевидно, равна  $Q/2\pi$ . Здесь Q - нагрузка, действующая на нижний конец оболочки. Если же оболочка внизу имеет полюс, т.е. пересекает ось вращения, то  $r_0=0$  и  $C=0$ .

Уравнение равновесия элемента оболочки и уравнение равновесия зоны являются основными в безмоментной теории оболочек.

Для удобства использования уравнения зоны в задачах расчета напряжений в нагруженных осесимметрично оболочках его записывают через радиус параллельного круга  $r$ . Из треугольника MNL (рис.6) следует

$$dr = MN \cos \phi = R_1 d\phi \cos \phi.$$

И, как известно,  $r = R_2 \sin \phi$ . Подставляя эти выражения в (9), будем иметь:

$$Sr \sin \phi + \int r (X \operatorname{tg} \phi + Z) dr = C \quad (10)$$

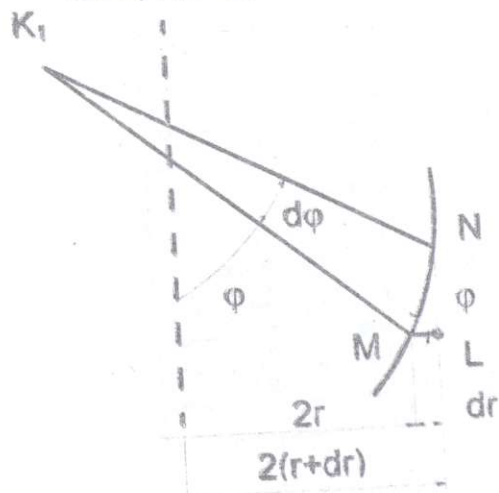


Рис.6

Рассмотрим оболочки вращения, нагруженные внутренним давлением.

Для цилиндрической оболочки, нагруженной внутренним давлением (рис.7), можно записать:  $R_1 = \infty$ ,  $R_2 = R = r = \text{const}$ ,  $\phi = \pi/2$ ,  $X = 0$ ,  $Z = -p$ ,  $C = p\pi R^2/2\pi = pR^2/2$ .

Тогда уравнение Лапласа при  $\phi = \pi/2$  и  $r=R$  принимает вид:  $T = pR$ , а уравнение зоны

$$Sr \sin \phi - p \int r dr = pR^2/2, \quad Sr \sin \phi = pR^2/2, \quad S = pR/2. \quad (11)$$

Следовательно:

$$\sigma_s = pR/2h; \quad \sigma_t = pR/h. \quad (12)$$

Рассмотрим коническую оболочку под действием внутреннего давления. В этом случае (рис.8)  $R_1 = \infty$ ,  $R_2 \sin \phi = r$ ,  $\phi = \pi - \alpha$ ,  $X = 0$ ,  $Z = -p$ ,  $C = 0$ .

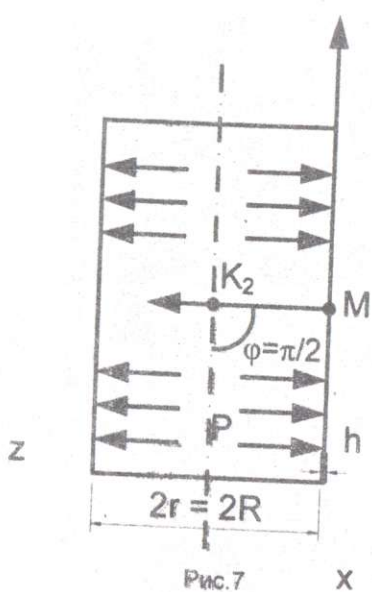


Рис.7

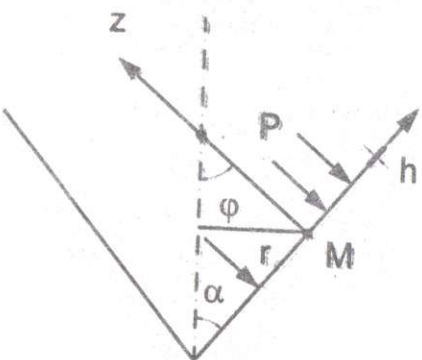


Рис.8

Тогда из уравнения Лапласа следует:  $T = pr / \sin \phi = pr / \cos \alpha$ ,  
а из уравнения зоны:  $S r \sin \phi = pr^2 / 2$ ,  $S = pr / 2 \cos \alpha$ . (13)

$$\text{Следовательно: } \sigma_s = pr / (2h \cos \alpha) ; \quad \sigma_t = pr / (h \cos \alpha) . \quad (14)$$

Рассматривая сферическую оболочку под действием внутреннего давления (рис.9), имеем:  $R_1 = R_2 = R$ ,  $X = 0$ ,  $Z = -p$ ,  $C = 0$ .

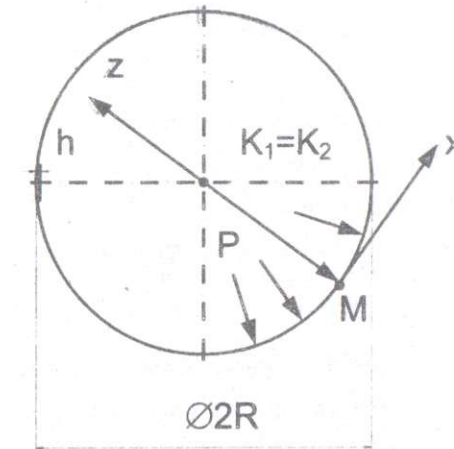


Рис.9

$$\text{Из уравнения зоны следует: } S r \sin \phi = pr^2 / 2 ; \quad S = pr / 2 . \quad (15)$$

Подставляя это значение  $S$  в уравнение Лапласа имеем:  $T = pr / 2$ .

Следовательно:

$$\sigma_s = pr / 2h ; \quad \sigma_t = pr / 2h . \quad (16)$$

#### 4. Моментная теория расчета оболочек.

Рассмотрим тонкостенный цилиндр радиуса  $R$  и постоянной толщины  $h$ , который находится под действием некоторой осесимметричной нагрузки (рис.10). Обратимся к уравнениям равновесия элемента оболочки с размерами  $h$ ,  $dx = R_1 d\phi$ ,  $dy = R_2 \sin \phi d\alpha$  (здесь  $\sin \phi = 1$ , т.к.  $\phi = \pi/2$ ) и приложим к его граням равнодействующие силы и моменты, величины которых равны  $S$ ,  $T$ ,  $M$ , и  $K$ , умноженным

соответственно на  $dy = R_2 \sin\varphi dx$  и  $dx = R_2 \sin\varphi$ . Кроме четырех перечисленных силовых факторов, прикладываем также поперечную силу  $N R_2 \sin\varphi d\alpha$ . Внешние силы характеризуются постоянным давлением, т.е.  $p = \text{const}$ . Поскольку ни внешняя нагрузка, ни радиусы кривизны оболочки не меняются вдоль её оси,  $dN R_2 \sin\varphi d\varphi = 0$ , т.е.  $ds = \text{const}$ .

Это значит, что осевая сила определяется условиями нагружения цилиндра на торцах. В дальнейшем будем считать эти условия заданными и силу  $S$  - известной.

Уравнение равновесия на ось  $z$  принимает вид:

$$-TR_1 d\varphi - dNR + pR_1 d\varphi R = 0 \quad \text{или} \quad \frac{dN}{dx} = p - \frac{T}{R}. \quad (17)$$

Наконец, третье уравнение равновесия получаем, приравнивая к нулю сумму моментов всех сил относительно оси  $y$ :

$$NR_2 \sin\varphi dx = dMR_2 \sin\varphi, \quad \text{откуда} \quad N = \frac{dM}{dx}. \quad (18)$$

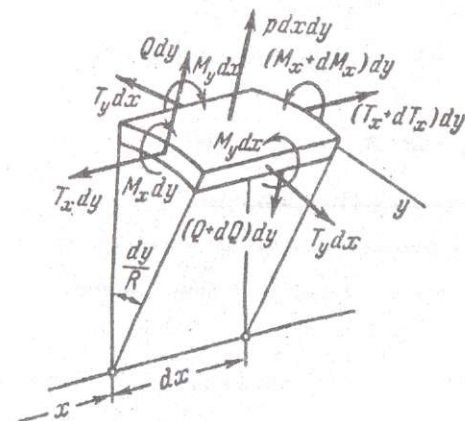


Рис.10

Деформации и напряжения, возникающие в оболочке, также обладают, очевидно, осевой симметрией, и деформированный цилиндр представляет собой некоторое тело вращения. Форма этого тела вполне определяется формой изогнутой образующей цилиндра.

Обозначим через  $\omega$  радиальное перемещение, а через  $\vartheta$  - угол наклона касательной к образующей срединной поверхности цилиндра (рис.11).

При этом

$$\frac{d\omega}{dx} = \vartheta. \quad (19)$$

Перемещение  $\omega$  будем отсчитывать наружу - от оси цилиндра.

Относительное удлинение  $\varepsilon_x$  отрезка AB (рис.12), расположенного на расстоянии  $z$  от срединной поверхности, складывается из двух составляющих: из удлинения  $\varepsilon_0$  срединной поверхности и удлинения, обусловленного искривлением образующей цилиндра.

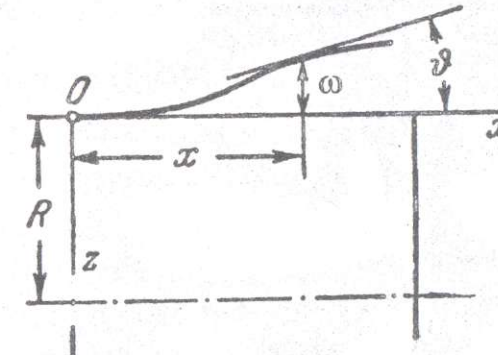


Рис.11

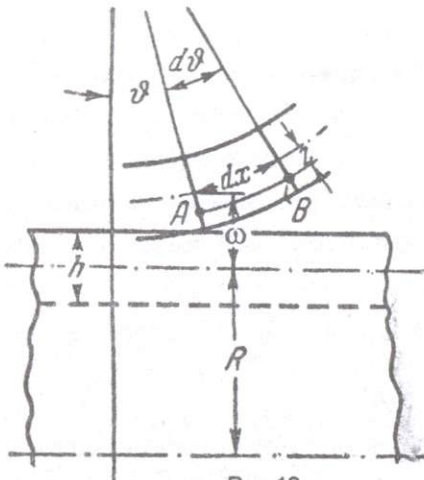


Рис.12

Последнее слагаемое имеет вид  $z \frac{d\theta}{dx}$ . Полное удлинение слоя AB будет

$$\epsilon_x = \epsilon_0 + z \frac{d\theta}{dx}. \quad (20)$$

Удлинение в окружном направлении:

$$\epsilon_y = \frac{\omega}{R}. \quad (21)$$

Этим удлинениям соответствуют напряжения  $\sigma_s$  и  $\sigma_t$ ,

определенные по закону Гука:

$$\sigma_s = \frac{E}{1-\mu^2} (\epsilon_x + \mu \epsilon_y); \quad \sigma_t = \frac{E}{1-\mu^2} (\epsilon_y + \mu \epsilon_x),$$

где  $\mu$  - коэффициент Пуассона; или же согласно выражениям (20) и (21)

$$\begin{aligned} \sigma_s &= \frac{E}{1-\mu^2} \left[ \epsilon_0 + \mu \frac{\omega}{R} + z \frac{d\theta}{dx} \right], \\ \sigma_t &= \frac{E}{1-\mu^2} \left[ \epsilon_0 + \frac{\omega}{R} + \mu z \frac{d\theta}{dx} \right]. \end{aligned} \quad (22)$$

В сечениях цилиндра (как осевых, так и поперечных) возникают изгибающие моменты и нормальные силы. Они определяются через напряжения  $\sigma_s$  и  $\sigma_t$  (рис.13). Рассмотрим элемент цилиндрической оболочки с размерами  $dx dy dz$ . Нормальные силы в площадках  $h dy$  и  $h dx$ , отнесенные к единице длины сечения элемента, будут иметь вид:

$$S = \int_{-h/2}^{+h/2} \sigma dz, \quad T = \int_{-h/2}^{+h/2} \sigma dz.$$

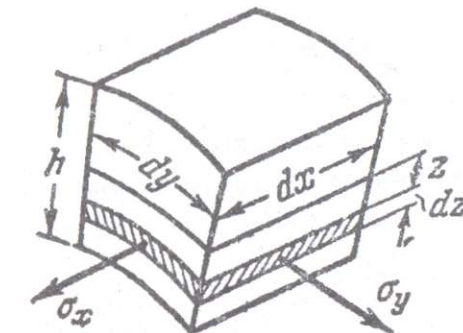


Рис.13

Определим в этих же сечениях изгибающие моменты:

$$M = \int_{-h/2}^{+h/2} \sigma_x z dz; \quad K = \int_{-h/2}^{+h/2} \sigma_y z dz.$$

Учитывая выражения (19) и (22), определяем силы S и T и моменты M и K в зависимости от перемещения  $\omega$ :

$$S = \frac{Eh}{1-\mu^2} \left( \epsilon_0 + \mu \frac{\omega}{R} \right); \quad T = \frac{Eh}{1-\mu^2} \left( \frac{\omega}{R} + \mu \epsilon_0 \right) \quad (23)$$

$$M = D \frac{d^2 \omega}{dx^2}; \quad K = \mu D \frac{d^2 \omega}{dx^2},$$

$$\text{где } D = \frac{Eh^3}{12(1-\mu^2)}. \quad (24)$$

Теперь преобразуем полученные уравнения. Из уравнений (23) исключаем  $\epsilon_0$ , а из (17) и (18) - поперечную силу N. Тогда получим:

$$\left. \begin{aligned} T &= \frac{Eh}{R} \omega + \mu S \\ \frac{d^2 M}{dx^2} &= p - \frac{T}{R} \end{aligned} \right\}. \quad (25)$$

Исключая из этих уравнений  $T$ , имеем:

$$\frac{d^2 M}{dx^2} = p - \frac{Eh}{R^2} \omega - \frac{\mu S}{R}.$$

Наконец, если воспользоваться (24) и исключить изгибающий момент  $M$ , получим уравнение относительно одного неизвестного перемещения  $\omega$ :

$$\frac{d^4 \omega}{dx^4} + 4k^4 \omega = \frac{p}{D} - \frac{\mu S}{RD}, \quad (26)$$

$$\text{где } 4k^4 = \frac{Eh}{R^2 D} = \frac{12(1-\mu^2)}{R^2 h^2}. \quad (27)$$

Здесь  $K = \frac{1,28}{\sqrt{R \cdot h}}$  - характеристический коэффициент.

Решение уравнения (26) имеет вид

$$\omega = e^{-kx} (C_1 \sin kx + C_2 \cos kx) + e^{kx} (C_3 \sin kx + C_4 \cos kx) + \omega_0. \quad (28)$$

В этом уравнении  $C_1, C_2, C_3, C_4$  - постоянные интегрирования;  $\omega_0$  - частное решение уравнения (26) при  $p=\text{const}$ :

$$\omega_0 = \frac{pR^2}{Eh} \left(1 - \frac{\mu}{2}\right)$$

Постоянные интегрирования определяются из граничных условий на концах оболочки. Например, в случае если длина оболочки  $l > 5\sqrt{Rh}$ , то, как показывают исследования, прогибы и напряжения у одного края мало влияют на прогибы и напряжения у другого края. Поэтому для

такой оболочки следует принять  $C_3 = C_4 = 0$ , так как иначе при увеличении  $x$  прогиб будет возрастать неограниченно.

В результате уравнение (28) будет иметь вид:

$$\omega = e^{-kx} (C_1 \sin kx + C_2 \cos kx) + \omega_0. \quad (29)$$

Зная уравнение для прогиба, можно определить действующие в оболочке усилия и моменты из следующих соотношений:

$$M = -D \frac{d^2 \omega}{dx^2}; \quad K = \mu M; \quad N = -D \frac{d^3 \omega}{dx^3}; \quad T = \mu S + \frac{Eh}{R} \omega.$$

В качестве примера рассмотрим полубесконечную цилиндрическую оболочку ( $l > 5\sqrt{Rh}$ ), нагруженную внутренним давлением. Возникающие в месте защемления изгибающий момент и поперечную силу обозначим  $M_0$  и  $Q_0$  (рис.14).

Для этой оболочки при  $x=0$  прогиб  $\omega$  и угол поворота  $\frac{d\omega}{dx}$  равны нулю.

Кроме того, при  $x = 0$ :

$$\frac{d^2 \omega}{dx^2} = -\frac{M_0}{D}; \quad \frac{d^3 \omega}{dx^3} = -\frac{Q_0}{D}.$$

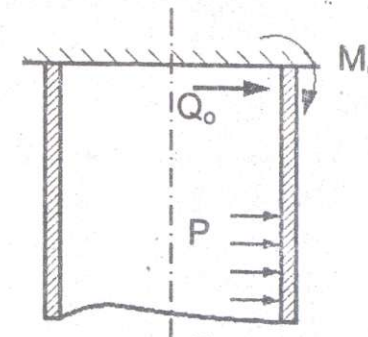


Рис.14

Используя уравнение (29), получим

$$C_1 = -\frac{M_0}{2DK^2}; \quad C_2 = -\frac{M_0}{2DK^2} + \frac{Q_0}{2DK^2}.$$

Краевые нагрузки связаны с давлением следующими зависимостями:

$$M_0 = \frac{p}{2k^2} \left(1 - \frac{\mu}{2}\right), \quad Q_0 = -\frac{p}{2k^2} \left(1 - \frac{\mu}{2}\right),$$

или, если подставить значение  $k$  из (27), получим

$$M_0 = \frac{p \cdot Rh \left(1 - \frac{\mu}{2}\right)}{2\sqrt{3(1 - \mu^2)}}, \quad Q_0 = -\frac{p \cdot \sqrt{Rh} \left(1 - \frac{\mu}{2}\right)}{4\sqrt{3(1 - \mu^2)}}. \quad (30)$$

Тогда уравнение (29) можно записать в виде

$$\omega = \frac{M_0}{2Dk^2} e^{-kx} (\cos kx - \sin kx) + \frac{Q_0}{Dk^3} e^{-kx} \cos kx + \omega_0. \quad (31)$$

Изгибающие моменты и усилия соответственно равны:

$$M = M_0 e^{-kx} (\cos kx + \sin kx) + \frac{Q_0}{k} e^{-kx} \sin kx \quad K = \mu M; \quad (32)$$

$$N = -2M_0 k e^{-kx} \sin kx + Q_0 e^{-kx} (\cos kx - \sin kx);$$

$$T = 2RK^2 \left[ M_0 e^{-kx} (\cos kx - \sin kx) + \frac{Q_0}{k} e^{-kx} \sin kx \right] + pR, \quad S = \frac{pR}{2}.$$

Нетрудно убедиться из анализа уравнений (32), что наибольшие изгибающие моменты и напряжения возникают в месте заделки оболочки ( $x=0$ ).

$$M = \frac{pRh}{2\sqrt{3(1-\mu^2)}}; \quad K = \frac{\mu pRh}{2\sqrt{3(1-\mu^2)}}; \quad \sigma_s = 2.04 \frac{pR}{h}; \quad \sigma_t = 0.61 \frac{pR}{h}; \quad (33)$$

На рис.15 представлены эпюры меридиональных моментов и радиальных перемещений жесткозашемленной оболочки, нагруженной

внутренним давлением. Нетрудно видеть, что зависимость  $M=M(x)$  представляет собою периодическую, быстро затухающую функцию. Очевидно, что аналогично изменяется по длине оболочки и кольцевой момент.

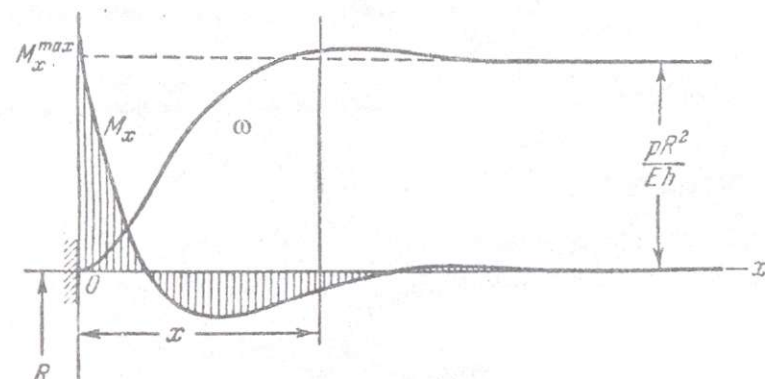


Рис.15

Итак, первый важный вывод, который вытекает из моментной теории оболочек, состоит в том, что изгибающие кольцевой и меридиональный моменты в нагруженной осесимметрично цилиндрической оболочке затухают очень быстро, и уже на расстоянии  $l = 2.7\sqrt{Rh}$  величиной их можно пренебречь. Примерно такова же область действия изгибающих моментов в других видах оболочек.

Другой вывод, который будет нами использован ниже, заключается в том, что моментная теория оболочек позволяет рассчитать прогибы и углы поворота на концах оболочки, нагруженных единичным изгибающим моментом  $M_0 = 1$  и единичной перерезывающей силой  $Q_0 = 1$ .

Обозначим:

$\delta_{MM}$  - угол поворота края оболочки от действия на краю момента  $M_0=1$ ;

$\delta_{MQ}$  - угол поворота края оболочки от действия на краю поперечной силы  $Q_0=1$ ;

$\delta_{QM}$  - прогиб края оболочки от действия на краю поперечной силы  $Q_0=1$ ;

$\delta_{QM}$  - прогиб края оболочки от действия на краю оболочки момента  $M_0=1$ .

Из (31) следует, что при  $Q_0=0$  и  $M_0=1$ :

$$\left. \begin{array}{l} \delta_{MM} = \frac{1}{kD} \\ \delta_{QM} = \frac{1}{2k^2 D} \end{array} \right\}, \quad (34)$$

а также то, что при  $Q_0=1$  и  $M_0=0$

$$\left. \begin{array}{l} \delta_{QQ} = \frac{1}{2k^3 D} \\ \delta_{QM} = \frac{\delta}{2k^2 D} \end{array} \right\}, \quad (35)$$

Коэффициенты  $\delta_{MQ}$  и  $\delta_{QM}$  симметричны, т.е.  $\delta_{MQ}=\delta_{QM}$ . Значения коэффициентов для определения единичных перемещений наиболее распространенных в практике аппаратостроения оболочек табулированы и приведены в таблице:

Оболочка	Эскиз	$k_1$	$k_2$	$k_3$
Круговой цилиндр		1	1	1
Круговой конус		1	$\sin\varphi$	$\sin\varphi$
Сфера		1	$\sin\varphi$	$\sin^2\varphi$

$$\delta_{MM} = \frac{1}{kD} k_1; \quad \delta_{MQ} = \delta_{QM} = \frac{\delta_{11}}{2k} k_2; \quad \delta_{MM} = \frac{\delta_{12}}{k} k_3 = \frac{\delta_{11}}{2k^2} k_2 k_3;$$

$$k = \sqrt[4]{\frac{3(1-\mu^2)}{R}}; \quad D = \frac{Eh^3}{12(1-\mu^2)}$$

### 5. Определение напряжений в местах действия краевого эффекта

Рассмотренные выше расчетные формулы получены для нагруженных внутренним давлением оболочек, у которых не закреплены края. В реальных конструкциях сосудов и аппаратов в местах сопряжения или закрепления оболочек возникает краевой эффект. В этих узлах кроме меридиональных и окружных усилий, определяемых по безмоментной теории оболочек, возникают еще дополнительные (краевые) изгибающие моменты и поперечные силы, обусловленные локальным изгибом оболочек. В основу решения задач краевого эффекта положен, хорошо разработанный в курсе сопротивления материалов, метод сил.

При этом используют условие совместности деформации, заключающееся в требовании того, что в реальной конструкции при нормальной работе сосуда в узле сопряжения оболочек различной конфигурации не должно быть никаких относительных перемещений сопрягаемых элементов. В этом случае место сопряжения оболочек рассекают плоскостью, нормальной к их оси, так что основная (статически определимая) система представляется состоящей из двух оболочек. К обеим оболочкам прикладывают заданную внешнюю нагрузку, а в месте сечения - распорную силу, действующую на край оболочки, а также искомые краевые силы и моменты. Затем составляют канонические уравнения метода сил.

Для пояснения рассмотрим сосуд, состоящий из двух сопряженных оболочек и находящийся под действием внутреннего давления  $p$  (рис.16). Допустим, что обе оболочки деформируются в результате приложенных к ним внешних сил независимо одна от другой.

Обозначим радиальное перемещение под действием внутреннего давления  $p$  края оболочки I через  $\delta'_{QP}$  и поворот его через  $\delta'_{MP}$ , а радиальное перемещение и поворот края оболочки II соответственно через  $\delta''_{QP}$  и  $\delta''_{MP}$ .

В связи с тем, что в общем случае радиальное и угловое перемещения края оболочки I не равны соответствующим перемещениям края оболочки II, и вместе с тем обе оболочки не могут деформироваться независимо одна от другой, в краевых сечениях появляются противоположно направленные лежащие в плоскости параллельных кругов силы  $Q_0$ , и меридиональные изгибающие моменты  $M_0$ . Очевидно, что радиальные перемещения и углы поворота сечений в месте сопряжения двух оболочек, образующих сосуд, по абсолютной величине равны между собой.

На основании этого можно написать систему уравнений в следующей канонической форме:

$$\left. \begin{aligned} \delta'_{MM} M_0 + \delta'_{MQ} Q_0 + \delta'_{MP} &= \delta''_{MM} M_0 + \delta''_{MQ} Q_0 + \delta''_{MP} \\ \delta'_{QM} M_0 + \delta'_{QQ} Q_0 + \delta'_{QP} &= \delta''_{QM} M_0 + \delta''_{QQ} Q_0 + \delta''_{QP} \end{aligned} \right\} \quad (36)$$

Здесь  $\delta_{QQ}$ ,  $\delta_{QM}$  - радиальные перемещения краев оболочек под действием соответственно единичных сил и моментов;  $\delta_{MM}$  и  $\delta_{MQ}$  - угловые перемещения краев оболочек под действием соответственно единичных моментов и сил.

В дальнейшем будем считать положительными радиальные перемещения, если они направлены от оси оболочки, а угловые - если они направлены по часовой стрелке. Будем считать положительными изгибающие моменты, если они вызывают растяжение внутренних волокон оболочки, а поперечные силы, усилия и нагрузки, - если они направлены от оси оболочки и вызывают ее растяжение. В случае если в результате решения моменты или усилия будут получены с обратным знаком, нужно поменять их направление.

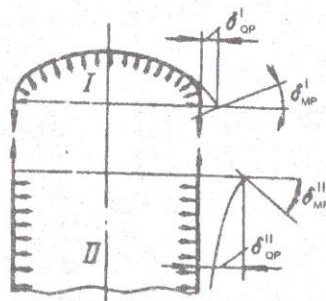


Рис.16

В качестве примера обратимся к цилиндрической оболочке длиной  $l > 5 Rh$ , жестко заделанной по краю и нагруженной внутренним давлением. Для определения неизвестных  $M_0$  и  $Q_0$  запишем канонические уравнения:

$$\left. \begin{aligned} M_0 \delta_{MM} + Q_0 \delta_{MQ} + \delta_{MP} &= 0 \\ M_0 \delta_{QM} + Q_0 \delta_{QQ} + \delta_{QP} &= 0 \end{aligned} \right\} \quad (37)$$

Первая строка этого уравнения составлена из условия, что в защемлении угол поворота равен нулю, а вторая из условия равенства нулю прогиба в точке защемления. Входящие в уравнения

коэффициенты определяют перемещение на краю оболочки от действия единичного изгибающего момента и единичной перерезывающей силы.

Значение коэффициентов для определения единичных перемещений табулированы и приведены в таблице. Для рассматриваемой задачи они частично получены нами выше (34) и (35), теперь мы определим  $\delta_{QP}$  и  $\delta_{MP}$  - радиальное и угловое перемещение образующей цилиндрической оболочки, находящейся под действием внутреннего давления  $p$ .

На основании обобщенного закона Гука можно записать:

$$\varepsilon_t = \frac{2\pi(r + \Delta r) - 2\pi r}{2\pi r} = \frac{\Delta r}{r} = \varepsilon_r = \frac{1}{E} (\sigma_t - \mu \sigma_s),$$

где  $\varepsilon_t$  - относительное удлинение срединной поверхности оболочки в окружном направлении, а  $\varepsilon_r$  - относительное радиальное удлинение оболочки.

Абсолютное удлинение радиуса оболочки

$$\delta_{QP} = \frac{r}{E} (\sigma_t - \mu \sigma_s).$$

Подставив сюда  $\sigma_t$  и  $\sigma_s$  из уравнения (12), получим для цилиндрической оболочки

$$\delta_{QP} = \frac{pr}{Eh} \left( 1 - \frac{\mu}{2} \right).$$

Поскольку радиальное перемещение  $\delta_{QP}$  постоянно по оси оболочки, угловое перемещение конца оболочки  $\delta_{MP}=0$ . Аналогично могут быть получены угловые и радиальные перемещения концов оболочек другой формы (см. таблицу).

Подставив значение коэффициентов в уравнения (37) и решив эту систему, получим

$$M_0 = \frac{p \cdot Rh}{2\sqrt{3(1-\mu^2)}} \quad Q_0 = -\frac{p\sqrt{Rh}}{\sqrt[4]{3(1-\mu^2)}}. \quad (38)$$

Аналогичное решение получено нами в (33).

Рассмотрим сопряжение цилиндрической обечайки со сферическим неотбортованным днищем (рис.17).

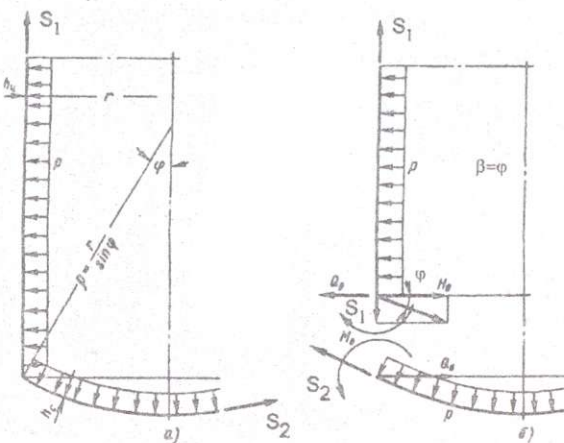


Рис.17

В этом случае на край цилиндрической оболочки действует меридиональное усилие:

$$S_1 = \sigma_{s1} h_1,$$

где  $\sigma_{s1}$  - возникающее в цилиндрической оболочке меридиональное напряжение.

Кроме усилия  $S_1$ , к краю цилиндрической оболочки приложены краевой изгибающий момент  $M_0$  и перерезывающая сила  $Q_0$ . На край сферической оболочки действуют точно такие же по величине, но противоположно направленные краевой изгибающий момент и перерезывающая сила.

Меридиональная сила, действующая на край сферической оболочки:

$$S_2 = \sigma_{s2} h_2,$$

где  $\sigma_{s2}$  - возникающее в сферической оболочке меридиональное напряжение.

Разложим усилие  $S_2$  на два направления - вдоль и перпендикулярно оси цилиндрической оболочки. Составляющая силы  $S_2$ , направленная перпендикулярно оси цилиндрической оболочки, является распорным усилием:  $H_0 = S_2 \cos \phi = S_1 \operatorname{ctg} \phi$ .

Для рассматриваемого случая канонические уравнения метода сил запишем в виде:

$$\left. \begin{aligned} \delta_{1MM} M_0 + \delta_{1MQ} (Q_0 - H_0) &= -\delta_{2MM} M_0 + \delta_{2MQ} Q_0 \\ \delta_{1QM} M_0 + \delta_{1QQ} (Q_0 - H_0) + \delta_{1QP} &= -\delta_{2QM} M_0 + \delta_{2QQ} Q_0 + \delta_{2QP} \end{aligned} \right\}$$

Из полученных уравнений находим:

$$M_0 = \frac{\delta_1 MQH_0}{\delta_{1MM} + \delta_{2MM}}; \quad Q_0 = \frac{\delta_{2QP} + \delta_{QQ} H_0 - \delta_{1QP}}{\delta_{1QQ} + \delta_{2QQ}}$$

С целью упрощения решения краевых задач в справочном приложении к ГОСТ 25859-83 "Сосуды и аппараты. Нормы и методы расчета при малоцикловых нагрузках" был сделан ряд упрощений и приведены решения, позволяющие в более удобной форме определять краевые усилия для случая сопряжения оболочек вращения различных типов.

#### 6. Изгиб круглых симметрично нагруженных пластин.

Напомним, что под пластины мы понимаем оболочки, у которых радиусы кривизны  $R_1 = R_2 = \infty$ . Рассмотрим поведение пластины под действием внешних сил, перпендикулярных к её срединной плоскости.

Очевидно, что пластина в этом случае будет менять свою кривизну, в результате чего образуется некоторая слабоизогнутая поверхность, форма которой характеризуется законом изменения прогибов пластины  $\omega$ . При расчете пластин, когда прогиб  $\omega$  существенно меньше толщины пластины  $h$ , изгиб пластины можно рассматривать независимо от растяжения, т.е. считать, что нормальные напряжения в пластине будут обусловлены не силами, а изгибающими моментами. Пластины, удовлетворяющие этому условию, называют иногда тонкими плитами.

Теория изгиба пластин, так же как и теория расчета оболочек, основана на некоторых гипотезах. Первой из них является гипотеза Кирхгофа, согласно которой точки, расположенные на некоторой прямой, нормальной к срединной поверхности до деформации, после деформации снова образуют прямую, нормальную к деформированной поверхности. Предположение обуславливает тот факт, что угловыми деформациями пластин можно пренебречь по сравнению с угловыми перемещениями. Это приемлемо в той мере, в какой толщина пластины мала по сравнению с другими ее размерами.

Далее будем считать, что нормальные напряжения в сечениях, параллельных срединной поверхности, пренебрежимо малы по сравнению с изгибающими напряжениями. Аналогичное допущение принималось ранее при исследовании напряженного состояния оболочек.

Перейдем теперь к определению напряжений в круглых пластинах. Рассмотрим пластину постоянной толщины  $h$ , нагруженную симметричной относительно оси пластины  $z$  распределенной нагрузкой  $p$ . Деформации, перемещения и напряжения, возникающие в пластине, будут также симметричны относительно оси  $z$ . Прогиб пластины

обозначим через  $\omega$ , а угол поворота нормали - через  $\vartheta$  (рис.18). Величины  $\omega$  и  $\vartheta$  являются функциями только радиуса  $r$  и связаны между собой очевидным соотношением:

$$\vartheta = -\frac{d\omega}{dr} \quad (40)$$

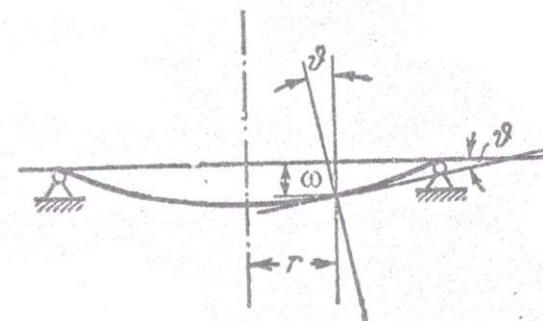


Рис.18

В силу малости  $\vartheta$  здесь принято, что  $\sin \vartheta = \vartheta$  и  $\cos \vartheta = 1$ . Знак минус свидетельствует о том, что с уменьшением прогиба  $\omega$  угол  $\vartheta$  возрастает, причем выбор знака не имеет принципиального значения и зависит только от направления отсчета.

На рис.19 показано диаметральное сечение пластины и положения нормалей, стоящих одна от другой на расстоянии  $dr$  до и после деформации пластины.

Относительное удлинение отрезка  $ab$ , расположенного на расстоянии  $z$  от срединной поверхности будет:

$$\varepsilon_r = (z(\vartheta + d\vartheta) - z\vartheta) / dr = zd\vartheta / dr \quad (41)$$

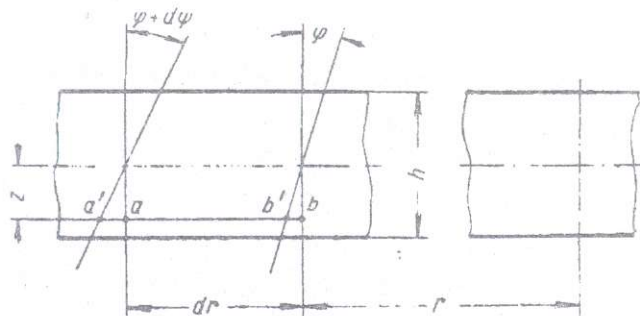


Рис.19

Относительное удлинение в точке  $a$  в окружном направлении может быть найдено из сравнения длин окружностей, на которых находится точка  $a$ , до и после деформации. До изгиба пластины длина окружности, проходящей через точку  $a$ , была равна  $2\pi r$ , а после изгиба она стала  $2\pi(r+z\theta)$ . Следовательно, относительное удлинение в окружном направлении:

$$\varepsilon_r = z\theta / r \quad (42)$$

Двумя диаметральными сечениями, разнесенными на угол  $d\phi$ , и двумя цилиндрическими поверхностями с радиусами  $r$  и  $r+dr$  выделим из пластины элемент, показанный на рис.20. Поскольку мы постулировали, что в сечениях, параллельных срединной плоскости, нормальные напряжения отсутствуют, связь между удлинениями и напряжениями в этом элементе определяется обобщенным законом Гука:

$$\varepsilon_r = \frac{1}{E} (\sigma_r - \mu \sigma_t),$$

$$\varepsilon_t = \frac{1}{E} (\sigma_t - \mu \sigma_r).$$

Если выразить напряжения в элементе через деформации, то получим:

$$\left. \begin{aligned} \sigma_r &= \frac{E}{1-\mu^2} (\varepsilon_r - \mu \varepsilon_t) \\ \sigma_t &= \frac{E}{1-\mu^2} (\varepsilon_r - \mu \varepsilon_r) \end{aligned} \right\} \quad (43)$$

Используя уравнения (41) и (42), найдем

$$\left. \begin{aligned} \sigma_r &= \frac{Ez}{1-\mu^2} \left( \frac{d\theta}{dr} + \mu \frac{\theta}{r} \right) \\ \sigma_t &= \frac{Ez}{1-\mu^2} \left( \frac{\theta}{r} + \mu \frac{d\theta}{dr} \right) \end{aligned} \right\} \quad (44)$$

На гранях выделенного элемента (рис.20) возможно возникновение не только нормальных, но и касательных напряжений. Поскольку любое из диаметральных сечений пластины, например  $B_1B_2A_2A_1$ , можно рассматривать как плоскость симметрии, в них касательные напряжения отсутствуют. Такие напряжения могут возникать только на площадках, перпендикулярных к радиусу  $r$  и только в вертикальном направлении.

Рассмотрим теперь условия равновесия выделенного элемента. Для этого найдем сначала равнодействующие силы на его гранях. На грани  $A_1B_1A_1B_1$  (рис.21) касательные напряжения дают равнодействующую поперечную силу, направленную по оси  $z$ . Интенсивность этой силы, т.е. величину силы, приходящейся на единицу дуги  $rd\phi$ , будем по-прежнему обозначать через  $N$ . Величина поперечной силы  $N$  на грани  $A_1B_1A_1B_1$  будет  $Nrd\phi$ , а  $N+dN$  на грани  $A_2B_2A_2B_2$  будет равна  $(N+dN)(r+dr)d\phi$ .

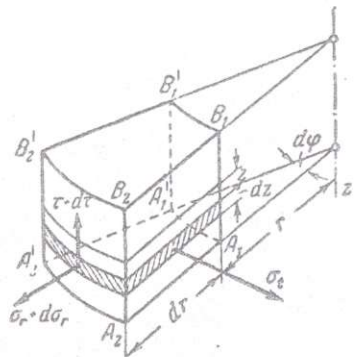


Рис.20

Поскольку напряжения в верхних и нижних слоях боковых граней вырезанного элемента одинаковы, но различны по знаку, нормальные силы  $S$  и  $T$  на гранях элемента отсутствуют. Нормальные напряжения  $\sigma_r$  и  $\sigma_t$  на соответствующих гранях приводятся лишь к равнодействующим моментам  $K$  в кольцевой и  $M$  в диаметральной плоскостях. Интенсивность этих моментов, т.е. величины моментов, приходящихся на единицу длины сечения, будем по-прежнему обозначать через  $M$  и  $K$ .

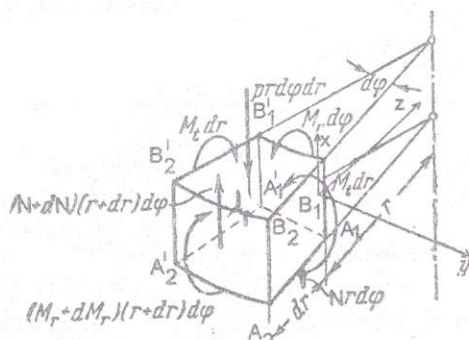


Рис.21

Зная напряжения  $\sigma_r$  и  $\sigma_t$ , определяем равнодействующие моменты на гранях:

$$Mrd\phi = rd\phi \int_{-h/2}^{+h/2} \sigma_r z dz;$$

$$Kdr = dr \int_{-h/2}^{+h/2} \sigma_t z dz$$

Используя (44), получим:

$$M = \frac{E}{1-\mu^2} \left( \frac{d\theta}{dr} + \mu \frac{\theta}{r} \right) \int_{-h/2}^{+h/2} z^2 dz;$$

$$K = \frac{E}{1-\mu^2} \left( \frac{\theta}{r} + \mu \frac{d\theta}{dr} \right) \int_{-h/2}^{+h/2} z^2 dz;$$

$$\int_{-h/2}^{+h/2} z^2 dz = \frac{h^3}{12},$$

следовательно,

$$\begin{cases} M = D \left( \frac{d\theta}{dr} + \mu \frac{\theta}{r} \right) \\ K = D \left( \frac{\theta}{r} + \mu \frac{d\theta}{dr} \right) \end{cases}$$

$$\text{где } D = \frac{Eh^3}{12(1-\mu^2)}.$$

Эта величина, как мы уже знаем (24), называется жесткостью пластины (или оболочки) на изгиб.

Поскольку нормальные силы  $S$  и  $T$  на гранях элемента отсутствуют, а распределенная внешняя нагрузка  $p$  (давление, которое может меняться в функции радиуса  $r$ ), и перерезывающая сила  $N$  перпендикулярны к оси  $x$ , сумма проекций всех сил на ось  $x$  тождественно равна 0.

Сумма проекций всех сил на ось  $y$  дает:

$$(N + dN)(r + dr)d\phi - Nrd\phi - prd\phi dr = 0$$

$$\text{или } pr = \frac{d}{dr}(Nr).$$

(46)

Сумма моментов всех сил относительно оси у, приводит к уравнению:

$$K - \frac{d}{dr}(Mr) = Nr. \quad (47)$$

Подставляя М и К из выражений (45) в уравнение (47), получим:

$$r \frac{d^2\varphi}{dr^2} + \frac{d\varphi}{dr} - \frac{\varphi}{r} = -\frac{Nr}{D}, \text{ откуда } \frac{d}{dr} \left[ r \frac{d\varphi}{dr} \right] = -\frac{N}{D}. \quad (48)$$

Последнее преобразование легко проверить простым дифференцированием.

После двукратного интегрирования выражения (46) находим

$$\varphi = C_1 r + \frac{C_2}{r} - \frac{1}{Dr} \int [r] N dr, \quad (49)$$

где  $C_1$  и  $C_2$  - произвольные постоянные интегрирования, которые надлежит определять из граничных условий в каждом конкретном случае. Интенсивность поперечной силы  $N$  может быть найдена из уравнения равновесия (46).

После того как функция  $\varphi$  (49) найдена, из выражений (44) легко найти и напряжения. Наибольшие напряжения будут иметь место при

$z = \pm \frac{h}{2}$ . Поэтому

$$\begin{aligned} \sigma_r^{\max} &= \frac{Eh}{2(1-\mu^2)} \left( \frac{d\varphi}{dr} + \mu \frac{\varphi}{r} \right) \\ \sigma_t^{\max} &= \frac{Eh}{2(1-\mu^2)} \left( \frac{\varphi}{r} + \mu \frac{d\varphi}{dr} \right) \end{aligned} \quad (50)$$

Определим прогибы и напряжения в пластине, нагруженной равномерно распределенной нагрузкой  $p$ , в двух случаях закрепления

пластины: а) при защемлении контура, б) при свободном опирании пластины на контур (рис.22). Радиус пластины  $R$ , толщина  $h$ .

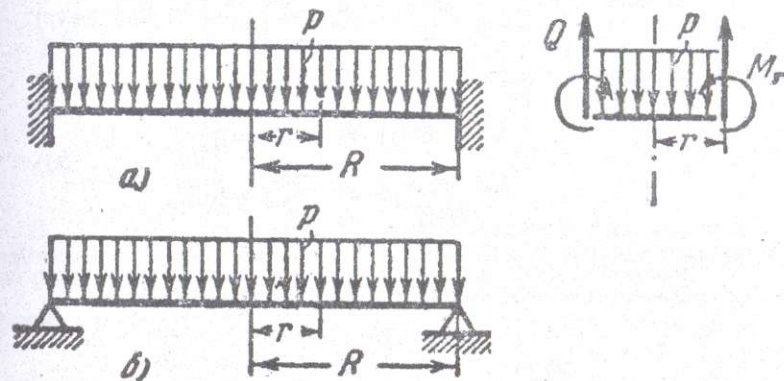


Рис.22

Решение задачи начинаем с определения  $N$ . Для центральной части пластины радиусом  $r$  (рис.22), независимо от способа закрепления на внешнем контуре, уравнение равновесия дает

$$N \cdot 2\pi r = p\pi r^2 \text{ или } N = \frac{pr}{2}.$$

Из выражения (49) после двукратного интегрирования находим

$$\varphi = C_1 r + \frac{C_2}{r} - \frac{pr^3}{16D}.$$

Как в случае а), так и в случае б) (рис.22) угол поворота  $\varphi$  в центре пластины (при  $r=0$ ) должен быть равен нулю, так как излом пластины отсутствует. Но это возможно только в том случае, если  $C_2=0$ . Таким образом,

$$\varphi = C_1 r - \frac{pr^3}{16D} \quad (51)$$

Теперь рассмотрим случаи закрепления раздельно. При защемлении пластины на контуре при  $r=R$  угол  $\theta=0$ , откуда

$$C_1 = \frac{pR^2}{16D} \theta = \frac{p}{16D} (R^2 r - r^3). \quad (52)$$

Теперь согласно (45) имеем:

$$\begin{aligned} M &= \frac{p}{16} [R^2(1+\mu) - r^2(3+\mu)] \\ K &= \frac{p}{16} [R^2(1+\mu) - r^2(1+3\mu)] \end{aligned} \quad (53)$$

В случае свободного опирания пластины момент  $M$  на контуре пластины обращается в нуль, и тогда согласно (45) при  $r=R$

$$\frac{d\theta}{dr} + \mu \frac{\theta}{r} = 0.$$

Из этого условия с учетом (51) можно определить постоянную  $C_1$ :

$$C_1 - \frac{3pR^2}{16D} + \mu \left( C_1 - \frac{pR^2}{16D} \right) = 0,$$

откуда

$$C_1 = \frac{pR^2}{16D} \frac{3+\mu}{1+\mu}, \quad \theta = \frac{p}{16D} \left[ \frac{1+\mu}{3+\mu} R^2 r - r^3 \right].$$

Согласно (45) выражения для изгибающих моментов будут иметь следующий вид:

$$\begin{aligned} M &= \frac{p}{16} (3+\mu)(R^2 - r^2) \\ K &= \frac{p}{16} (3+\mu) \left( R^2 - \frac{1+3\mu}{3+\mu} r^2 \right) \end{aligned} \quad (54)$$

Согласно выражениям (53) и (54) строятся эпюры изгибающих моментов, показанные на рис.23.

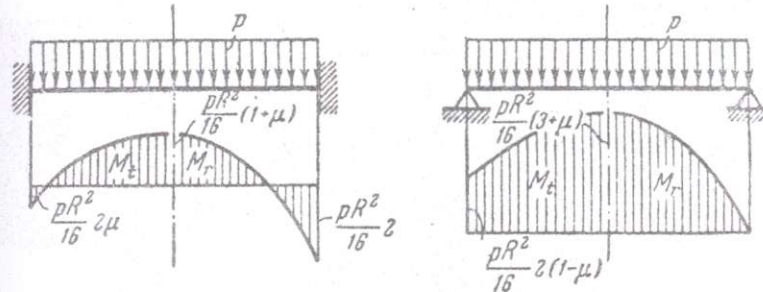


Рис.23

В случае защемленного контура наибольшие растягивающие напряжения возникают у верхней поверхности вблизи контура. Согласно формулам (50)

$$\sigma_1 = \sigma_r = \frac{2pR^2}{16} \frac{6}{h^2}, \quad \sigma_2 = \sigma_t = \frac{2\mu R^2}{16} \frac{6}{h^2}, \quad \sigma_3 = 0;$$

\* эквивалентное напряжение

$$\sigma_{\text{ЭКВ}} = \sigma_1 - k\sigma_3 = \frac{3}{4} \frac{pR^2}{h^2}.$$

В случае свободноопертого контра наибольшие растягивающие напряжения возникают в центре у нижней поверхности пластины:

$$\sigma_1 = \sigma_2 = \frac{3+\mu}{16} \frac{pR^2}{h^2}, \quad \sigma_3 = 0,$$

$$\sigma_{\text{ЭКВ}} = \sigma_1 - k\sigma_3 = \frac{3}{8} (3+\mu) \frac{pR^2}{h^2}.$$

Редактор Л.Г.Шевчук  
Корректор Ю.Е.Стрихарь

Лицензия № 020404 от 6.03.97 г.

Подписано в печать 12.10.2000.

Формат 60x84 1/16.

Бумага писчая.

2, 79 усл.печ.л.

3,0 уч.-изд.л.

Печать офсетная.

Тираж 100 экз.

Заказ 202 «С» 157.

Издательство Казанского государственного технологического  
университета

Офсетная лаборатория Казанского государственного  
технологического университета

420015, Казань, К.Маркса, 68